

СПОНТАННОЕ ИЗЛУЧЕНИЕ ДАЛЬНЕГО ИК ДИАПАЗОНА ПРИ ПЕРЕХОДАХ НОСИТЕЛЕЙ ЗАРЯДА МЕЖДУ УРОВНЯМИ КВАНТОВЫХ ТОЧЕК

Л.Е.Воробьев¹⁾, Д.А.Фирсов, В.А.Шалыгин, В.Н.Тулупенко⁺,
Ю.М.Шерняков*, Н.Н.Леденцов*, В.М.Устинов*, Ж.И.Алферов*

Санкт-Петербургский государственный технический университет
195251 Санкт-Петербург, Россия

+ Донбасская государственная машиностроительная академия
343913 Краматорск, Украина

* Физико-технический институт им. А.Ф.Иоффе РАН
194021 Санкт-Петербург, Россия

Поступила в редакцию 15 января 1998 г.

Обнаружено спонтанное излучение дальнего инфракрасного диапазона ($\lambda \approx 10\ldots20$ мкм) из диодных структур с вертикально связанными InGaAs/AlGaAs квантовыми точками, обусловленное переходами дырок и электронов между уровнями размерного квантования в квантовых точках, а также с переходами из континуума на уровень в квантовой точке. Такое излучение наблюдается только при одновременной генерации межзонного коротковолнового ($\lambda \approx 0.94$ мкм) лазерного излучения и, как и коротковолновое излучение, имеет пороговый характер по току. Спонтанное длинноволновое излучение обнаружено также в лазерных InGaAs/GaAs структурах с квантовыми ямами. Интенсивность этого излучения примерно на порядок слабее, чем в структурах с квантовыми точками. Порог по току у него отсутствует.

PACS: 42.55.Px, 78.66.-w

Введение. Межподзонные оптические переходы носителей заряда в квантовых ямах исследованы достаточно подробно, в результате этих исследований уже созданы детекторы и модуляторы инфракрасного излучения [1]. Среди последних достижений этого направления следует отметить реализацию квантового каскадного лазера [2], основанного на модифицированной идеи авторов работ [3], и создание "фонтанного" лазера [4]. Новые перспективы в разработке приборов на дальнюю инфракрасную (far infrared, FIR) область спектра ($\lambda > 10$ мкм) открывает изучение переходов носителей заряда между уровнями квантовых точек (quantum dots, QD). До настоящего времени, однако, в QD исследовались только процессы поглощения света при переходах между локализованными состояниями электронов в QD и сплошным спектром, а также при переходах дырок между различными уровнями в QD [5].

В настоящей работе обнаружено спонтанное излучение при переходах электронов из континуума на уровни QD и при межуровневых переходах дырок в квантовых точках. Необходимым условием для наблюдения этого физического процесса является одновременная генерация излучения в QD через основные состояния локализованных электронов и дырок ($\hbar\nu$ близко к ϵ_g), которая обеспечивает опустошение нижних (основных) уровней электронов и дырок в QD при высоких уровнях токовой инжекции электронно-дырочных пар в QD-гетеролазере. Наблюдение спонтанного излучения можно рассматривать как первый этап создания лазера дальнего ИК диапазона на межуровневых переходах носителей заряда в QD.

¹⁾ e-mail: LVor@phsc2.stu.neva.ru

Образцы и методика эксперимента. Образцы представляли собой лазерные структуры с вертикально-связанными QD, описанные в [6]. Активная область такого лазера представляет собой слои $\text{Al}_{0.15}\text{Ga}_{0.85}\text{As}$ с самоорганизованными квантовыми точками $\text{In}_{0.5}\text{Ga}_{0.5}\text{As}$. Число слоев равно 10. Толщина слоя $\text{Al}_{0.15}\text{Ga}_{0.85}\text{As}$ равна 5 нм и сравнима с размером квантовых точек в направлении, перпендикулярном слоям. Таким образом, QD туннельно-связаны в вертикальном направлении. Стимулированное излучение соответствовало ближнему инфракрасному (near infrared, NIR) диапазону: длина волны генерации составляла около 0.94 мкм (при температуре 300 К). Для регистрации этого излучения использовался кремниевый фотодиод ФД8-К. Излучение наблюдалось в импульсном режиме, длительность импульсов тока составляла 200 нс. При расстоянии между зеркалами резонатора примерно 1100 мкм пороговая плотность тока j_{th} имела при $T = 300$ К значение примерно 290 A/cm^2 (пороговый ток $I_{th} = 0.6 \text{ A}$). Диэлектрические зеркала не наносились.

С целью обнаружить FIR излучение из этих же структур были применены фотоприемники $\text{Ge} < \text{Cu} >$ и $\text{Si} < \text{B} >$, имеющие при температурах вблизи температуры жидкого гелия области чувствительности приближенно в диапазоне $\lambda = 5\ldots29 \text{ мкм}$. Для отсечки NIR излучения ($\lambda \cong 0.94 \text{ мкм}$) на входе фотоприемников были установлены фильтры из InSb и Ge . Более точно спектральный состав FIR излучения определялся с помощью фильтров из BaF_2 , NaCl и KBr . Исследования FIR излучения проводились при $T = 30$ К (также в импульсном режиме).

Параллельно были проведены исследования спонтанной эмиссии FIR излучения из лазерных $\text{In}_{0.2}\text{Ga}_{0.8}\text{As}/\text{GaAs}$ структур с квантовыми ямами (quantum well, QW) шириной 7 нм, которые были сконструированы для генерации стимулированного NIR излучения.

Результаты и их обсуждение. На рис.1а показаны зависимости сигналов фотоприемников для стимулированного NIR излучения и спонтанного FIR излучения из QD лазерной структуры. С помощью системы фильтров было установлено, что FIR излучение сосредоточено в диапазоне 10..20 мкм. Отметим, что зависимость интенсивности спонтанного FIR излучения от тока лазера носит пороговый характер, причем пороговый ток близок к пороговому току генерации стимулированного NIR излучения I_{th} , который при низких температурах был равен 0.33 А (примерно в два раза меньше, чем при комнатной температуре). Таким образом, FIR излучение удается зарегистрировать только одновременно с генерацией NIR излучения ($\lambda \cong 0.94 \text{ мкм}$). Была исследована целая серия аналогичных образцов с QD-лазерными структурами. В тех образцах, в которых отсутствовала генерация стимулированного NIR излучения, не наблюдалось и эмиссии спонтанного FIR излучения.

Затем аналогичные исследования были проведены на лазерных $\text{In}_{0.2}\text{Ga}_{0.8}\text{As}/\text{GaAs}$ структурах с квантовыми ямами (рис.1б). Пороговый ток генерации стимулированного NIR излучения для QW-структур был равен примерно 0.25 А. В этих структурах также была обнаружена эмиссия спонтанного FIR излучения. В отличие от QD-структур, FIR излучение было примерно на порядок слабее и не имело порогового характера.

Дадим качественное объяснение наблюдавшимся закономерностям. Обсудим сначала возможность эмиссии спонтанного FIR излучения для QD-лазерных структур. Предположим, что в исследованных $\text{InGaAs}/\text{AlGaAs}$ квантовых точках структура уровней подобна той, что рассчитана в [6] для InAs/GaAs квантовых точек пирами-

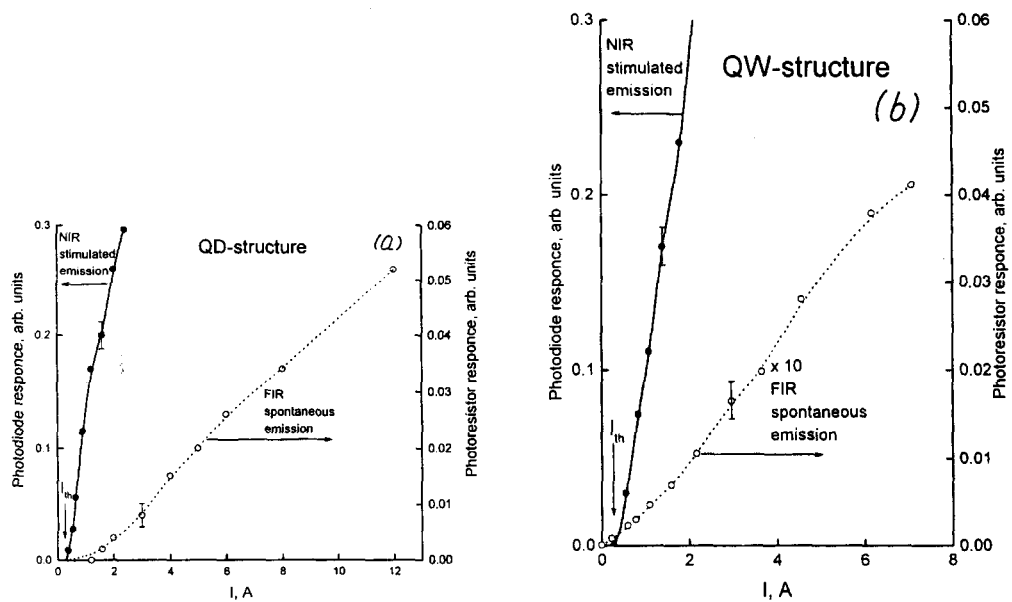


Рис.1. Зависимости интенсивности спонтанного FIR излучения ($\lambda \approx 10\ldots20$ мкм) и стимулированного NIR излучения ($\lambda = 0.94$ мкм) от тока через структуру. Температура $T = 30$ К. NIR излучение регистрировалось Si фотодиодом, FIR излучение – Ge < Cu > или S < В > фоторезисторами. а. Для структуры с InGaAs/AlGaAs квантовыми точками (I_{th} – пороговый ток как для NIR, так и для FIR излучения). б. Для структуры с InGaAs/GaAs квантовыми ямами (I_{th} – пороговый ток для NIR излучения, FIR излучение порога не имеет)

дальной формы с характерным линейным размером основания 10...12 нм. Для таких квантовых точек имеется один электронный уровень $|000\rangle$ (в использованных нами структурах возможно существование двух электронных уровней), а также четыре дырочных уровня: $|000\rangle$, $|100\rangle$, $|001\rangle$ и $|110\rangle$ (см. рис.2а). При инжекции электронов (дырок) в слой AlGaAs происходит их захват в состояния в смачивающем слое (wetting layer) за время порядка нескольких пикосекунд [8, 9] и последующий переход на электронный (дырочный) уровень в квантовой точке. Для дырок возможны также межуровневые переходы в QD типа $|100\rangle \rightarrow |000\rangle$, $|001\rangle \rightarrow |000\rangle$ и $|110\rangle \rightarrow |000\rangle$. Переходы из верхних состояний на нижние могут происходить с испусканием фононов [8–10], с эмиссией кванта света в диапазоне 10...20 мкм или (при высоких концентрациях носителей заряда) в результате процессов типа Оже [11]. Согласно [8], время перехода между возбужденным и основным состояниями дырок составляет примерно 40 пс (десятки пс [9]).

В работе [5] при возбуждении в InAs/GaAs QD электронно-дырочных пар межзонным светом обнаружены пики поглощения для переходов между уровнями дырок в QD в области 115 мэВ и для переходов электронов с уровня QD в континуум в области 190 мэВ. При интенсивности возбуждающего света ~ 100 Вт/см² наблюдалось насыщение поглощения света дырками, что означает полное заполнение основных уровней дырок в QD. Если предположить, что процессы в системе связанных InGaAs/AlGaAs QD подобны, то следует ожидать, что заполнение основных уровней в InGaAs/AlGaAs QD осуществляется при той же интенсивности света. При пороговых токах $I_{th} \cong 0.3$ А ($j_{th} \cong 140$ А/см²) создается приблизительно в два

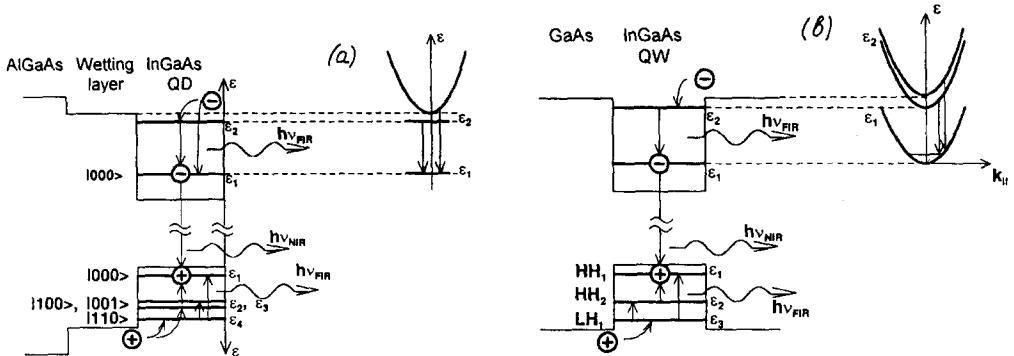


Рис.2.а. Схема оптических переходов электронов и дырок между уровнями размерного квантования InGaAs/AlGaAs квантовых точек и между состояниями в слое AlGaAs и уровнями квантовых точек, приводящих к спонтанному излучению FIR диапазона. Опустошение невозбужденных (основных) уровней электронов и дырок происходит благодаря индуцированному межзонному излучению NIR диапазона. б. То же, но для лазерных структур с InGaAs/GaAs квантовыми ямами. Энергии уровней отсчитываются от дна ям. Электронные уровни: $\epsilon_1 = 48$ мэВ, $\epsilon_2 = 156$ мэВ; глубина ямы для электронов 163 мэВ. Дырочные уровни: $\epsilon_1 = 12$ мэВ, $\epsilon_2 = 45$ мэВ и $\epsilon_3 = 79$ мэВ; глубина ямы для тяжелых дырок 80 мэВ

раза больше электронно-дырочных пар, чем возбуждающим светом интенсивности $J^\nu \cong 100$ Вт/см². При этом основные состояния дырок (электронов) в QD оказываются заполненными и оптические переходы на них из возбужденных состояний в QD или состояний в QW (рис.2а) невозможны.

При токе накачки, превышающем I_{th} , происходит эмиссия стимулированного NIR излучения и соответствующие межзонные переходы частично опустошают основные состояния электронов и дырок в QD. Переходы на них электронов и дырок из возбужденных состояний порождают спонтанное FIR излучение. Его интенсивность пропорциональна числу носителей заряда в возбужденных состояниях N_{ex} и вероятности того, что нижние состояния опустошены. Число N_{ex} зависит от тока линейно, а вероятность опустошения нижних состояний увеличивается с ростом интенсивности стимулированного NIR излучения.

По мере роста тока накачки в генерацию NIR излучения вовлекается все большее число квантовых точек, отличающихся размером. Об этом свидетельствует, например, относительно низкая величина дифференциальной квантовой эффективности $\eta^\nu = dJ_{NIR}^\nu/dI$ при низких температурах (с повышением T от 30 К до 300 К η^ν растет). По указанным причинам интенсивность FIR излучения J_{FIR}^ν может расти по более быстрому закону, чем линейный, что подтверждает эксперимент. Согласно нашим данным, при $I > I_{th}$: $J_{FIR}^\nu \propto I^2$ (см. рис.1а). При дальнейшем росте тока через структуру зависимость $J_{FIR}^\nu(I)$ постепенно переходит в линейную, что, возможно, связано с выбросом дырок (электронов) из верхних состояний мощным стимулированным излучением и усилением роли оже-процессов [11].

Обсудим теперь наблюдавшиеся закономерности эмиссии спонтанного FIR излучения для QW лазерных структур. Согласно расчетам, в In_{0.2}Ga_{0.8}As/GaAs QW с шириной ямы $L_W = 7$ нм имеются два уровня размерного квантования для электронов (рис.2б), энергетический интервал между которыми $\epsilon_2 - \epsilon_1 = 108$ мэВ. Для дырок имеются три уровня: $\epsilon_1 = 12$ мэВ, $\epsilon_2 = 45$ мэВ (подзоны тяжелых дырок HH₁ и HH₂) и $\epsilon_3 = 79$ мэВ (подзоны легких дырок LH₁). Переходы между подзонами

размерного квантования электронов и дырок в QW также могут дать излучение в диапазоне $\lambda = 10\ldots20$ мкм. Число носителей заряда в возбужденных состояниях (верхних подзонах) пропорционально току через структуру. В нижних (основных) подзонах всегда имеются незаполненные состояния, в которые переходят дырки (или электроны) (рис.2а). Поэтому интенсивность FIR излучения примерно пропорциональна току: $J'_{FIR} \propto I$ и не имеет порога, что и наблюдается экспериментально (рис.1б). Кроме того, следует заметить, что время жизни носителей заряда в возбужденных состояниях QW по данным разных авторов составляет примерно доли – единицы пикосекунд, что более чем на порядок меньше, чем для QD. Поэтому интенсивность FIR излучения для структур с QW должна быть меньше, чем для структур с QD. Действительно, экспериментально найдено, что FIR излучение примерно на порядок слабее для QW, чем для QD.

Таким образом, наблюдалось спонтанное излучение, связанное с переходами носителей заряда между уровнями в квантовых точках, в условиях генерации межзонного коротковолнового излучения в лазерных QD-структурках. В отличие от аналогичного излучения из структур с QW, FIR излучение из QD-структур примерно на порядок сильнее и имеет четко выраженный пороговый характер. Сравнение интенсивности излучения для обоих случаев показывает, что время жизни носителей заряда в QD по крайней мере на порядок больше, чем в QW. Это позволяет надеяться на получение инверсии населенности дырок или электронов в условиях генерации межзонного излучения ближнего инфракрасного диапазона и создание на основе QD-структур новых, более эффективных, светоизлучающих приборов FIR диапазона, в частности, FIR лазера на межуровневых переходах носителей заряда в QD.

Работа поддержана частично Российским фондом фундаментальных исследований, грант 96-02-17404; INTAS-REBR, грант 00615i96; Министерством науки и технологий, программа "Физика твердотельныхnanoструктур", грант 96-1029, а также Федеральной целевой программой "Интеграция", проект №75.

-
1. *Intersubband transitions in quantum wells*, Eds. E.Rosencher and B.Levine, NATO ASI Series, Ser. B, Physics **288**, Plenum Press, N.-Y. and London, 1992.
 2. J.Faist, F.Capasso, D.L.Sivco et al., *Science* **264**, 553 (1994).
 3. Р.Ф.Казаринов, Р.А.Сурис, ФТП **5**, 797 (1971); **6**, 148 (1972).
 4. O.Gauthier-Lafaye, S.Sauvage, P.Boucaud et al., *Appl. Phys. Lett.* **70**, 3197 (1997); Proc. of Intern. Sympos. *Nanostructures: Physics and Technology*, St.Petersburg, 1997, p.567.
 5. S.Sauvage, P.Boucaud, F.H.Julien et al., *Appl. Phys. Lett.* **71**, 2785 (1997).
 6. M.V.Maximov, Yu.M.Shernyakov, N.N.Ledentsov et al., Intern. Symposium "Nanostructures: Physics and Technology", St.Petersburg, 1997, p.202.
 7. M.Grundmann, O.Stier, and D.Bimberg, *Phys. Rev. B* **52**, 11969 (1995).
 8. R.Heitz, M.Veit, N.N.Ledentsov et al., *Phys. Rev. B* **56**, 10435 (1997).
 9. N.N.Ledentsov, In: *The Physics of Semiconductors*, Eds. M.Scheffler and R.Zimmermann, World Scientific, Singapore, V.1, 1996, p.19.
 10. M.J.Steer, D.J.Mowbray, M.S.Skolnick et al., in: *The Physics of Semiconductors*, Eds. M.Scheffler and R.Zimmermann, World Scientific, Singapore, V.2, 1996, p.1389.
 11. J.H.H.Sandmann, G. von Plessen, J.Feldman et al., Program and Abstracts of 10 Int. Conf. on Nonequilibrium Carrier Dynamics in Semiconductors, Berlin, report MoD3 (1997).